

大阪市立大学 正員 園田惠一郎
 大阪工業大学 " 堀川都志雄
 大阪市立大学 山崎光工

1. まえがき

スタッドジベルを介して薄鋼板とコンクリート板が合成され、いわゆる Robinson Slab が道路橋床版として用いられる場合、輪荷重の作用下でのスタッドに働くせん断力をついては、すでに著者は、鋼板とコンクリートが完全に一体化していると仮定して、弾性理論に基づいた計算式を導いて¹⁾。本研究ではモデル実験によりこの計算式の妥当性を検討したものである。

2. 供試体

実験床版の寸法は、長辺 210 cm、短辺 110 cm、版厚 11.9 cm (鋼板 0.9 cm、コンクリート 11 cm) である。供試体は全部で 4 体である。スタッドは Nelson 型 (ダイヘン STK) $\phi 13 \times 80$ である。鋼板は、短辺方向には、全供試体は同じで 150 mm、長辺方向には、供試体 S-1 および S-2 で 100 mm、供試体 S-3 で 200 mm である。S-1 および S-2 のスタッドの配置を図 1 に示す。鋼板とコンクリートの間の自然接着を除去するため、S-1, S-2, S-3 では鋼板の全面に薄いビニールシートを敷いて上にコンクリートを打設し、S-1 では、グリースを塗付して上に打設している。鋼板は SS-412、コンクリートの圧縮強度は実験時で 25.2 kgf/cm² である。

3. 実験方法

実験床版は短辺が 100 cm、長辺が 200 cm の四辺単純支持とし、四隅の浮き上がりを防止する。荷重は油圧ジャッキによりかけ、載荷面の大きさは道路橋示方書で規定された後輪接地面である $20 \times 50 \text{ cm}^2$ とし、荷重分布も一様にするために、油圧ジャッキのヘッドと床版の間に厚さ 30 mm の硬質ゴム板を挿入して。それらの概要を図 2 に示す。スタッドに働くせん断力の測定については、図 1 に示すように、支持辺に最も近い列にある着目するスタッド近傍の鋼板に短辺方向のスリットを入れておき、スリット間の鋼板の上、下面に貼付して、垂ゲージにより、

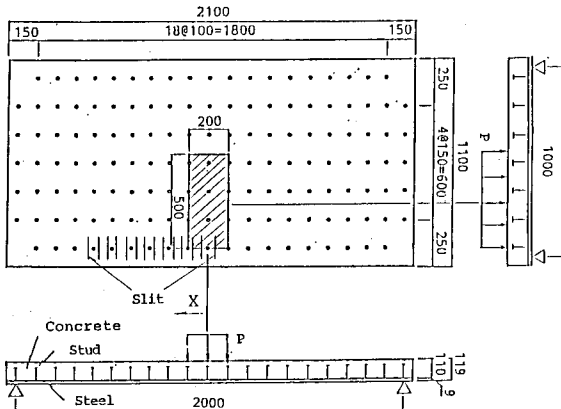


図 1. 供試体と荷重および着目するスタッドの位置
(供試体 S-1)

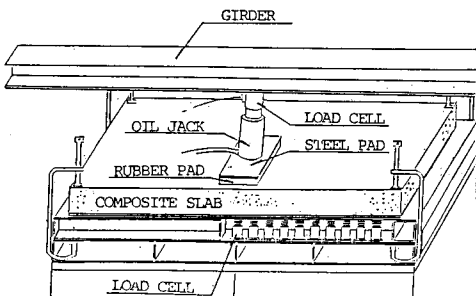


図 2 実験装置

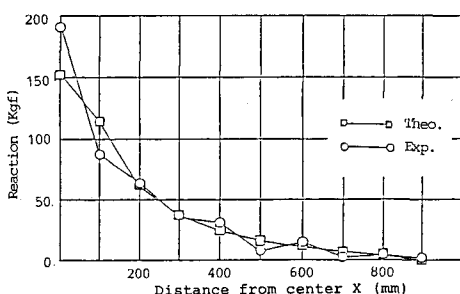


図 3. 長辺中央から支持辺の反力分布 ($P=1 \text{ t}$)

スタッド位置ごの面内力の変化を計測し、鉤合条件からこの変化とスタッドに働くせん断力に等しいとみたした。また、長辺方向の支持辺ごの反力分布を測定するため、図2に示すように、頭にボールベアリングを付けたロードセルを10cm 間隔で支持辺上（たゞし対称性を考慮して1/4部分のみに配置）。

4. 実験結果

(1) 反力分布：図3は長辺に沿った支持辺ごの反力分布を示す。実験値はロードセルの読み直りあり、理論値は文献1) で示した弹性理論値をロードセル間隔で積分したものである。両者はほぼ一致していることより、理論的には単純支持の条件はほぼ満足していると判断できる。

(2) スタッドに働くせん断力：図4は荷重とスタッドに働くせん断力の関係を示す。荷重が10tf、せん断力が900kgf までは両者の間にほぼ線型関係が認められる。ちなみにこのスタッドの1本当たりの許容せん断力は道路標示方書に基づいて、805kgf である。つづいて、図5～6は支持辺近傍のスタッドに働くせん断力の分布を表す。図中の理論値(文献1)による完全合成としたときの弹性計算値である。測定値はかなりバラツイところが、最もスタッド間隔の狭いS-1およびS-1'では、平均的に見れば理論値と実験値の一致が見られるが、間隔の大きいS-2, S-3 では両者の間に大きな隔たりが認められる。床版の中央点のための測定値からみて合成率を次式で定義すれば、 $d = (\delta_s - \delta_0) / (\delta_0 - \delta_1)$ 。ここで、 δ_s , δ_1 , δ_0 は単位荷重の下での版中央のひずみであり、 δ_s は測定値、 δ_1 は完全合成理論値、 δ_0 は完全非合成(直角板)理論値である。各供試体に対しても1を得る。これより、供試体S-1 では完全合成であるといえるが、S-2, S-3 では不完全合成になっている。この場合(文献1)の完全合成理論は十分ではないと結論づけられる。

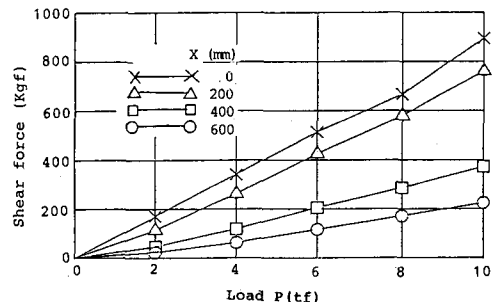


図4 荷重とスタッドに働くせん断力の関係
(供試体 S-3)

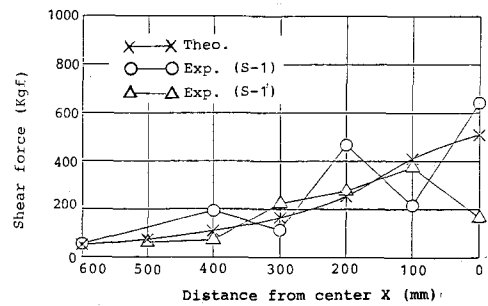


図5 スタッドに働くせん断力分布($P=3tf$)

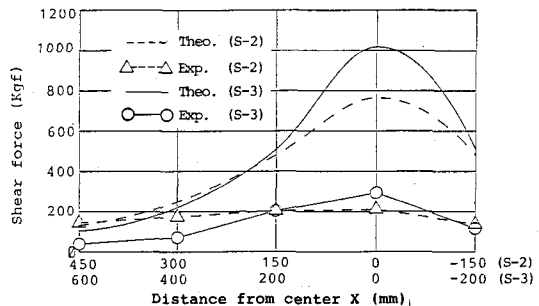


図6 スタッドに働くせん断力分布($P=3tf$)

Table 1. Factor α

Slab	S-1	S-2	S-3
δ_s (mm)	0.02	0.052	0.068
α	0.99	0.91	0.86

$$\delta_1 = 0.017\text{mm}, \quad \delta_0 = 0.390\text{mm}$$

参考文献 1) 園田他: 土木学会論文集, No.338, 1983.